

بررسی رفتار مکانیکی فوم‌های آلومینیومی تحت آزمون تک‌محوری با به‌کارگیری روش شبکه‌بندی ورونوئی

امیر رضائی صامتی (استاد بار)

گروه مهندسی عمران، دانشکده مهندسی، دانشگاه پویا، همدان

مهمنگی عمران شریف، (همار ۳۶۰) دری ۴۰، شماره ۱، صص. ۹۱-۸۷، (پژوهشی)

فوم‌های آلومینیومی از مصالح نوینی هستند که در اجزاء مختلف، همانند پانل‌های ساندویچی کاربردهای متعددی دارند. این دسته از مواد با توجه به چگالی پایین، وجود حفره‌های ریز، عالی صوتی، و مقاومت در برابر خودگی، ویژگی‌های منحصر به‌فردی دارند. در مطالعه‌ی حاضر، روش مبتنی بر شبکه‌بندی ورونوئی برای شجاعه‌سازی پیکربندی نانوفوم‌های آلومینیومی پیشنهاد شده است، که قابلیت‌های بالایی در مدل‌سازی ساختارهای متخلخل نامنظم با چگالی‌ها، اندازه‌ی حفره‌ها و خصامت دیوارهای مختلف به صورت پایدار دارند. نتایج حاصل، بیانگر سرعت و توانایی بالای روش ورونوئی برای ایجاد ساختارهای نانوفوم منطبق با تصاویر آزمایشگاهی است. رفتار مکانیکی نمونه‌های نانوفوم آلومینیومی تحت آزمون بارگذاری تک محوری با استفاده از روش دینامیک مولکولی و پتانسیل بین‌اتمی EAM بررسی شده است. در تسامی نمونه‌ها، براساس توزیع همگن‌سازی، شرایط مرزی به صورت پریودیک لحاظ و تعییرشکل شباهستاییکی به نمونه اعمال شده است. نتایج بیانگر واسطگی بالای رفتار مکانیکی نانوفوم‌ها به میزان چگالی و تخلخل نمونه‌هاست. همچنین، مقایسه‌ی مدول کشسان نمونه‌ها با نتایج آزمایشگاهی، بیانگر قابلیت بالای روش ورونوئی در ایجاد ساختارهای متخلخل آلومینیومی است.

وازگان کلیدی: پانل ساندویچی، نانوفوم آلومینیوم، شبکه‌بندی ورونوئی، مدل‌سازی ساختار اتمی مواد متخلخل، آزمون تک محوری کشش.

a.rezaeisameti@basu.ac.ir

۱. مقدمه

نسبت به آلومینیوم معمولی (چگالی نسبی ۳ تا ۸۰ درصد) تولید کنند.^[۱] در کنار چگالی پایین، قابلیت بالای فوم‌ها برای جذب و اتلاف انرژی می‌تواند منجر به افزایش میزان میرایی سازه شود و در نتیجه، خرابی‌های ناشی از بارگذاری لرزه‌بی را کاهش دهد. بر این اساس، گتابادی و دامغانی^[۲، ۱۷] پانل‌های ساندویچی را تولید شده با هسته‌ی فوم آلومینیومی را تحت آزمون ضربه با سرعت پایین قرار دادند و میزان اتلاف انرژی در المان‌های مذکور را بررسی کردند. مطالعات ایشان نشان داد که نزد اتلاف انرژی در پانل‌ها مستقیماً به میزان انرژی ضربه بستگی دارد. لیو^۲ و همکاران^[۱۵] با افزودن پلیمرهایی به فوم آلومینیوم، ساختاری ایجاد کردند که به عنوان میرگرا براساس رفتار هیسترزیس، توانایی اتلاف انرژی بسیار بالایی دارد و نیز نشان دادند که مواد اخیر، توانایی برگشت‌پذیری در چرخه‌های متعدد بارگذاری و نیز ظرفیت

پانل‌های ساندویچی با هسته‌ی فوم آلومینیومی،^۱ از جمله قطعاتی هستند که می‌توانند در صنعت ساختمان به عنوان دیوارهای پیش‌ساخته، جداگانه‌ها در فضاهای اداری و سالن‌ها و همچنین در سقف‌ها استفاده شوند. به کارگیری این دسته از پانل‌های ساختارهای نانوفوم با توجه به وزن حجمی پایین، مقاومت در برابر آتش‌سوزی و داشتن نسبت سختی به وزن بالای فوم‌های آلومینیومی در راستای سبک‌سازی و کاهش نیروهای وارد بر سازه خواهد بود.^[۱] از این رو، استفاده از اجراء نوین مذکور می‌تواند نقش مؤثری در صنعتی سازی ساختمان و بهبود عملکرد آن ایفا کند. براساس مطالعات صورت‌گرفته، قابلیت تولید فوم‌های آلومینیومی با روش‌های متعدد و اقتصادی فراهم شده است، که می‌توانند فوم‌هایی را با چگالی بسیار کمتر

تاریخ: دریافت ۱۸/۲/۲۰۱۴، اصلاحیه ۲۳/۲/۲۰۱۴، پذیرش ۴/۶/۲۰۱۴.

استاد به این مقاله:

رضائی صامتی، امیر، ۱۴۰۳. بررسی رفتار مکانیکی فوم‌های آلومینیومی تحت آزمون تک محوری با به‌کارگیری روش شبکه‌بندی ورونوئی. مهندسی عمران شریف، ۱۴۰، صص. ۹۱-۸۷. DOI:10.24200/J30.2023.62214.3215

در نهایت در بخش چهارم، نتایج حاصل از مدل‌سازی عددی ارائه و به بررسی نتایج پرداخته شده است.

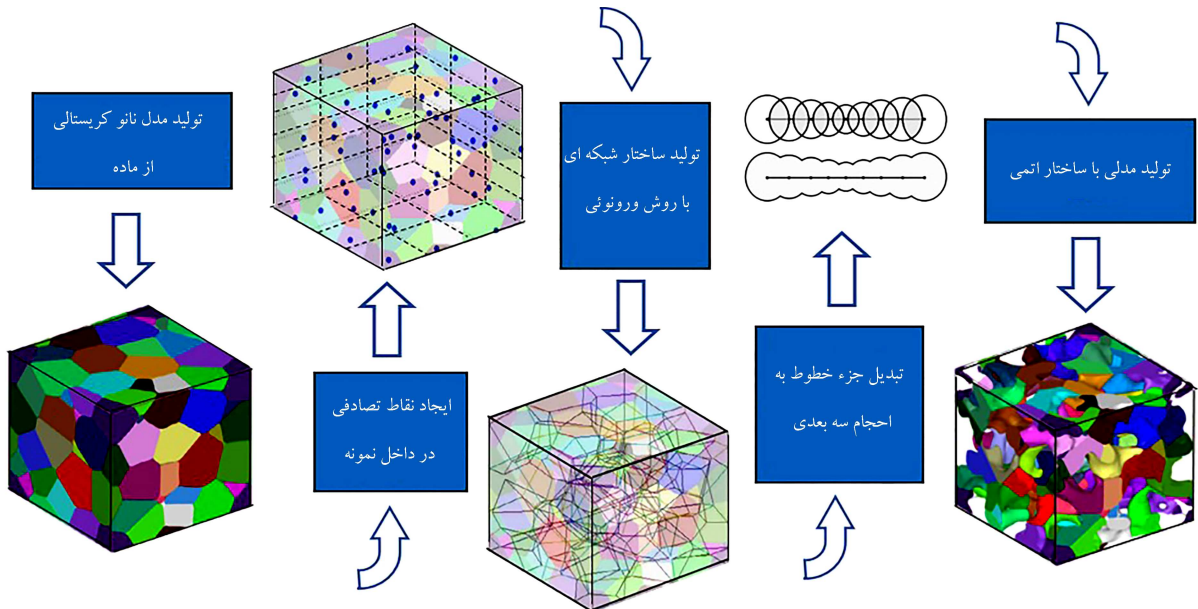
۲. ایجاد پیکربندی اولیه‌ی نانوفوم آلومینیومی براساس شبکه‌بندی و رونوئی

همان‌گونه که اشاره شد، برای ایجاد پیکربندی اولیه‌ی ساختارهای متخلخل فلزی، روش‌های مختلفی توسط پژوهشگران پیشنهاد شده است. به طورکلی، در روش‌های عددی تولید پیکربندی اولیه‌ی نانوفوم‌های فلزی، سرعت و دقت شبیه‌سازی برای ایجاد ساختارهای متخلخل فلزی، اهمیت بسیاری دارد. تصاویر آزمایشگاهی ارائه شده از ساختار متخلخل نانوفوم فلزات، بیانگر وجود ساختار هندسی پیچیده و نامنظم در این دسته از مواد است که بر اساس آن، تولید پیکربندی آنها با استفاده از اعمال تجزیه‌ی آلیاژ دو فلزی می‌تواند هزینه‌ی محاسباتی بسیار بالایی در برداشته باشد.^[۱۵] از جمله روش‌های پیشنهادی برای ایجاد پیکربندی نامنظم و متخلخل مواد نانوفوم فلزات، استفاده از روش شبکه‌بندی و رونوئی است، که توسعه پلابیز و همکاران (۲۰۲۰ و ۲۰۱۷)،^[۱۶] برای تولید نانوفوم طلا استفاده شده است، روشی صریح و منطقی بر دیدگاه هندسی بوده است. از این رو، سرعت بالایی برای شبکه‌بندی نانوفوم‌های فلزات دارد. برای ایجاد ساختار اولیه‌ی نانوفوم‌های آلومینیوم بررسی و دقت نتایج حاصل با مقایسه‌ی پیکربندی و خواص مکانیکی نمونه‌ی ایجادشده با نتایج آزمایشگاهی اعتبارسنجی شده است.

جزئیات پیاده‌سازی روش شبکه‌بندی و رونوئی برای تولید نانوفوم فلزات در شکل ۱ مشاهده می‌شود، که مطابق آن فرایند ایجاد نانوفوم فلزی براساس روش شبکه‌بندی و رونوئی شامل پنج مرحله است: در گام اول، ساختار پلی‌کریستالی فلز در حالت بدون تخلخل ایجاد می‌شود. این ساختار و محدوده‌ی نواحی مختلف با رنگ‌بندی در شکل ۱ نشان داده شده است. در گام دوم، تعدادی نقاط تصادفی در داخل نمونه انتخاب می‌شود. این نقاط باید به نحو مناسبی انتخاب شوند تا خبلی نزدیک به یکدیگر و یا سطح نمونه نباشند. کمینه‌ی فاصله بین نقاط تصادفی و تعداد آنها، از جمله عوامل کنترل‌کننده در ساختار مورفلوژی فوم است. در گام سوم، براساس نقاط تصادفی تعیین شده در مرحله‌ی دوم، شبکه‌بندی و رونوئی بر روی نمونه ایجاد می‌شود. این شبکه‌بندی براساس شکل‌های چندوجهی محدب غیرهمپوشان صورت می‌پذیرد. در گام چهارم، خطوط مرزی در شبکه‌بندی و رونوئی به صورت احجام سه‌بعدی در نظر گرفته می‌شوند. این عمل با فرض کره‌ای متقاطع با یکدیگر در طول خطوط صورت می‌پذیرد. اندازه‌ی کره‌های مذکور و فاصله‌ی آنها، نقش اساسی در کنترل اندازه‌ی حفره‌ها و میزان زوایا و گوشه‌های حفره‌ها در نمونه‌ی نهایی دارد. نهایتاً در گام آخر، بخش‌هایی از ساختار کامل اتمی، که در داخل احجام به دست آمده از گام قبلی قرار می‌گیرد، حذف و نمونه‌ی با ساختار متخلخل اسفنجی‌شکل ایجاد می‌شود. این روش با توجه به اینکه توانایی کنترل عوامل مختلف، از جمله: ابعاد نمونه، چگالی نمونه‌ی نهایی، اندازه و زاویه‌های حفره‌ها را دارد، قابلیت پیاده‌سازی بالای دارد و می‌تواند برای بررسی نمونه‌های مختلف استفاده شود.^[۱۸] همچنین همان‌گونه که مشاهده می‌شود، روش شبکه‌بندی و رونوئی صریح است و به کارگیری مفاهیم هندسی در زمان کمی می‌تواند ساختار متخلخل را برای نمونه ایجاد کند. در مطالعه‌ی حاضر، روش شبکه‌بندی و رونوئی برای ایجاد پیکربندی اولیه‌ی نانوفوم‌های آلومینیومی

با توجه به کاربردهای گسترده‌ی فوم‌های آلومینیومی، مطالعات آزمایشگاهی متعددی برای تعیین رفتار مکانیکی فوم‌های آلومینیومی تحت شرایط بارگذاری‌های مختلف انجام شده است. در این راستا، لازرو داویلا^[۳]،^[۱۵] رفتار مکانیکی فوم‌های آلومینیومی را تعیین کردند. مشاهده‌های آنها شکست ناهموار در ساختار فوم آلومینیوم در طول ضربه با سرعت بالا، میزان جذب انرژی در فوم آلومینیوم با استفاده از آزمایش ضربه با سرعت بالا، میزان جذب انرژی در فوم آلومینیوم را تعیین کردند. مشاهده‌های آنها شکست ناهموار در ساختار فشار بررسی کردند. تاناکا^[۴] و همکاران^[۱۶] در آزمون‌های فشاری استاتیکی و دینامیکی به بررسی تأثیر نزوح کرنش در رفتار مکانیکی فوم‌های آلومینیومی و ظرفیت جذب انرژی در آنها پرداخت و دریافت که نزوح کرنش در فوم‌هایی با ساختار سلولی باز، تأثیر کم و در فوم‌هایی با ساختار سلولی بسته، تأثیر قابل توجهی دارد. در حال حاضر، با پیشرفت‌های صورت‌گرفته در سال‌های اخیر، امکان تولید فوم‌های آلومینیومی با اندازه‌ی حفره‌های بسیار زیر نیز فراهم شده است. سوارز^[۷] و همکاران^[۱۴]،^[۱۷] پینا^[۸] و همکاران^[۲۰۲۱]،^[۹] و یانگ^[۱۰] و همکاران^[۲۰۲۱] فوم آلومینیومی با حفره‌هایی در ابعاد نانو تولید و خواص مکانیکی آن را ارزیابی کردند.

با توجه به هزینه‌ی بالای بررسی آزمایشگاهی رفتار مکانیکی نانوفوم‌های آلومینیومی، شبیه‌سازی‌های عددی می‌تواند به عنوان ابزاری مناسب برای درک بهتر پاسخ‌های این دسته از مواد در نظر گرفته شود. روش دینامیک مولکولی با مدل‌سازی پدیده‌ها با دقت اتنی از جمله روش‌های عددی است که در این زمینه می‌تواند عملکرد مناسبی داشته باشد. در به کارگیری روش مولکولی برای بررسی رفتار مکانیکی نانوفوم آلومینیوم، تولید پیکربندی اولیه‌ی مناسب از ساختار متخلخل این ماده بسیار حائز اهمیت است. به طورکلی، در مطالعات عددی صورت‌گرفته بر روی نانوفوم‌های فلزی، روش‌های مختلفی به منظور پیکربندی اولیه‌ی ساختار هندسی پیچیده این دسته از مواد ارائه شده است. کرونسان^[۹] و همکاران^[۱۰]،^[۱۱] روش فارکس^[۱۰] و همکاران^[۱۱] و رویستس^[۱۱] و همکاران^[۱۲] از روش مبتنی بر تحلیل میدان فلزی و تجزیه‌ی آلیاژ دو فلزی برای این منظور استفاده کردند. مطالعات منگپودی^[۱۲] و همکاران^[۱۳]،^[۱۴] نیز نشان داد که روش مذکور می‌تواند پیکربندی اولیه‌ی مناسب برای ساختار متخلخل نانوفوم را مدل کند، اما خواص مکانیکی نمونه‌های ایجاد شده با روش اخیر، تفاوت محسوسی با نتایج آزمایشگاهی دارد. گیری^[۱۲] و همکاران^[۱۴] از حفره‌های کروی با اندازه‌های تصادفی برای تولید ساختار متخلخل استفاده کردند. مقایسه‌ی پیکربندی نمونه‌های تولید شده با روش ذکرشده با تصاویر آزمایشگاهی نانوفوم‌ها، بیانگر ناتوانی آن در تولید پیکربندی نانوفوم‌های فلزی است. سوبارسالان^[۱۳] و همکاران^[۱۵]،^[۱۶] با به کارگیری میدان تصادفی گویند و برهم نهی امواج سینوسی ایستاده با طول موج‌های ثابت و با جهت‌های متمایز ساختار اولیه‌ی نانوفوم‌های فلزی را ایجاد کردند. پلابیز^[۱۵] و همکاران^[۱۷]،^[۱۸] براساس روش شبکه‌بندی و رونوئی، ساختار اولیه‌ی نانوفوم طلا را ایجاد کردند و دریافتند که روش شبکه‌بندی و رونوئی برای تولید پیکربندی اولیه‌ی ساختار متخلخل نانوفوم طلا، توانایی بالایی دارد. برای اسas در مطالعه‌ی حاضر، به کارگیری روش شبکه‌بندی و رونوئی برای تولید نمونه‌های نانوفوم آلومینیوم، نمونه‌های حاصل از لحاظ پیکربندی و خواص مکانیکی آنها با نتایج آزمایشگاهی بررسی و ارزیابی شده‌اند. در ادامه، در بخش دوم، به بیان نحوه ایجاد پیکربندی اولیه‌ی نانوفوم براساس شبکه‌بندی و رونوئی پرداخته شده است. همچنین توانایی روش شبکه‌بندی و رونوئی در ساخت نمونه‌های با چگالی، اندازه‌ی حفره‌ها و ضخامت دیوارهای مختلف بررسی و در بخش سوم، جزئیات مدل‌سازی رفتار مکانیکی نانوفوم آلومینیوم براساس روش دینامیک مولکولی ارائه شده است.



شکل ۱. جزئیات مدل سازی فوم فلزی با روش شبکه بندی ورونوی.

که در آن، انرژی کل سیستم E_{tot} از اتم i چگالی الکترونی کل بر روی اتم i ، $\rho_{h,i}$ چگالی الکترونی ناشی از اتم i ، r_{ij} ، α_m ، بردار فاصله بین اتم های i و j و ϕ اندرکنش دو ذره بی بین اتمی و F_i انرژی مدفون شده برای اتم i است. مطابق رابطه‌ی ۱، پتانسیل EAM شامل دو بخش مجزاست: بخش اول، بیانگر اندرکنش جفتی بین اتم هاست و بخش دوم، امکان لحاظ کردن اندرکنش های چنداتمی را برای پتانسیل EAM فراهم می سازد.^[۲۳] در پژوهش حاضر، از پارامترهای ارائه شده توسط پان و میشین^[۲۴]، برای مدل سازی آلومینیوم براساس پتانسیل EAM استفاده شده است.

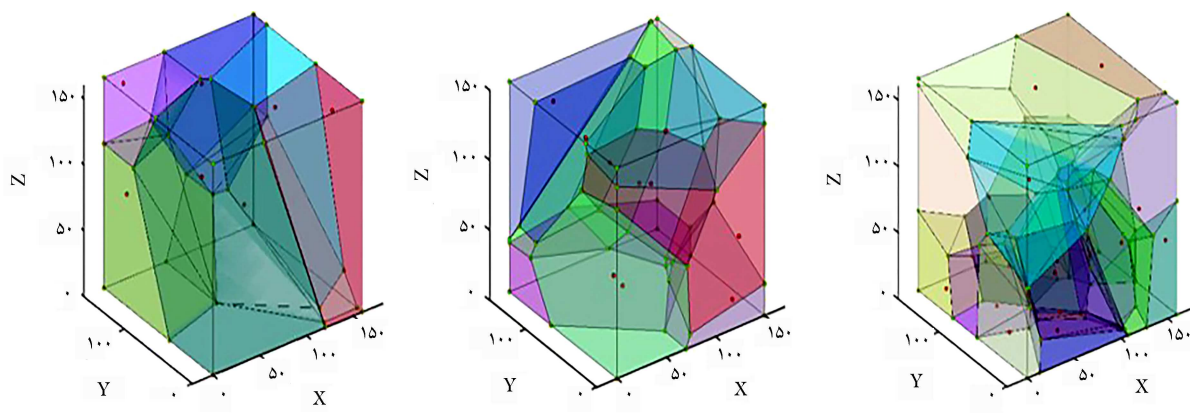
نمونه های اولیه به صورت مکعبی شکل با ابعاد ۱۶ نانومتر در نظر گرفته شده اند، که در حالت بدون تخلخل در برگیرنده‌ی حدود ۲۵۰ هزار اتم آلومینیوم با ساختار پلی کریستالی هستند. شرایط مرزی نمونه در هر سه جهت به صورت پر پریدگ در نظر گرفته شده است، تا نتایج حاصل از تحلیل نمونه، قابلیت تعیین به نمونه های بزرگ تر را داشته باشد؛ به عبارت دقیق‌تر، نمونه های ایجاد شده را بتوان به صورت یک المان حجمی نمونه (RVE) ^{۱۸} از ساختار یک نانوفوم آلومینیومی در نظر گرفت. پس از ایجاد پیکربندی اولیه براساس روش شبکه بندی ورونوی، ابتدا نمونه باید تحت شرایط محیطی به حالت پایدار قرار گیرد. برای این منظور، پس از تولید ساختار متخلخل، انرژی نمونه در دمای محیط و فشار یک اتمسفر کمینه می شود. فرایند کمینه سازی انرژی با تحلیل دینامیک مولکولی در هنگرد (آسامیل ^{۱۹}) هم دمایی (NVT) به مدت ۷۵ پیکوثانیه و سپس در هنگرد هم دمایی - هم فشاری (NPT) به مدت ۷۵ پیکوثانیه صورت می بزیرد. شرایط کمینه سازی انرژی به نحوی صورت می بذیرد که پارامترهای ترمودینامیک نمونه، از جمله: دما، فشار، و آنتروپی سیستم در پایان فرایند تقریباً به حالت پایدار برسد. پس از اتمام فرایند پایدارسازی، تغییرشکل در هنگرد هم دمایی - هم فشاری بر روی نمونه اعمال می شود. نحوی اعمال تغییرشکل بر روی نمونه منطبق با روش ارائه شده لی ^{۲۰} و همکاران (۲۰۱۸)،^[۲۵] برای مدل سازی نانوفوم طلا صورت پذیرفته است. در این روش به منظور تأمین شرایط بارگذاری شبکه استیکی، تغییرشکل به صورت مرحله به مرحله بر نمونه اعمال می شود. در هر مرحله از بارگذاری، کرنشی به میزان 0.001 در مدت زمان 1 پیکوثانیه (ps)^{۲۱} در دمای محیط تحت اعمال می شود و سپس نمونه به مدت 1 پیکوثانیه (ps)

استفاده و توانایی روش اخیر در مدل سازی این دسته از مواد متخلخل ارزیابی شده است.

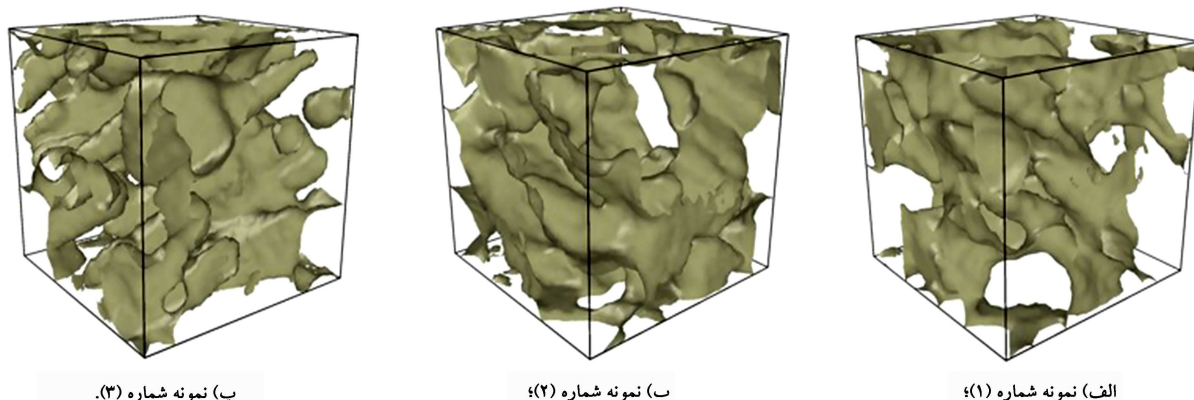
۳. جزئیات مدل سازی عددی به روش دینامیک مولکولی

به طورکلی فوم های آلومینیومی، از جمله مصالح نوینی هستند که در زمینه های مختلف، مانند پانل های ساندویچی، کاربردهای متعددی دارند. با توجه به ویژگی های منحصر به فرد فوم های آلومینیومی، شناخت و بررسی رفتار مکانیکی آنها بسیار حائز اهمیت است. با توجه به هزینه‌ی بالای مطالعات آزمایشگاهی و وجود عوامل تأثیرگذار متعدد، استفاده از روش های مبتنی بر مدل سازی عددی، می تواند نقش بسزایی در شناخت رفتار مکانیکی این دسته از مواد داشته باشد. روش دینامیک مولکولی، از جمله روش های عددی است که توانایی و دقت بالا برای شبیه سازی آنها با دقت اتمی دارد. در روش دینامیک مولکولی، ابتدا پیکربندی اولیه‌ی نمونه متناسب با ساختار طبیعی آن ایجاد می شود، سپس براساس معادله های تعادل حاکم بر ذرات و با روش های انتگرال گیری عددی، تغییرشکل نمونه تحت بارگذاری بررسی می شود. در روش اخیر، ایجاد پیکربندی اولیه و انتخاب مناسب پتانسیل بین اتمی برای توصیف دقیق اندرکنش بین ذرات اهمیت بسیاری دارد. همان‌گونه که اشاره شد، در مطالعه‌ی حاضر، پیکربندی ساختار متخلخل نانوفوم با روش شبکه بندی ورونوی صورت پذیرفته و همچنین از پتانسیل بین اتمی EAM ^{۱۶} برای ارزیابی اندرکنش بین اتم های آلومینیوم استفاده شده است. دقت و توانایی بالای پتانسیل EAM در مدل سازی ساختارهای آلومینیوم در مطالعات متعددی اثبات شده است.^[۲۲-۱۹] در پتانسیل EAM، اندرکنش بین ذرات براساس رابطه‌ی 1 تعیین می شود:

$$E_{tot} = \frac{1}{2} \sum_{i,j} \phi_{ij}(r_{ij}) + \sum_i F_i(\rho_{h,i}) \\ \rho_{h,i} = \sum_{j \neq i} \rho_j(r_{ij}) \quad (1)$$



شکل ۲. اعمال شبکه‌بندی ورونوئی بر روی مکعبی با ضلع ۱۶۰ انگستروم با تعداد نقاط تصادفی: (الف) ۱۵، (ب) ۱۰ و (پ) ۷.



شکل ۳. پیکربندی اولیه‌ی ساختار متخلخل فوم‌های آلمینیومی پس از پایدارسازی در دمای محیط و فشار یک اتمسفر.

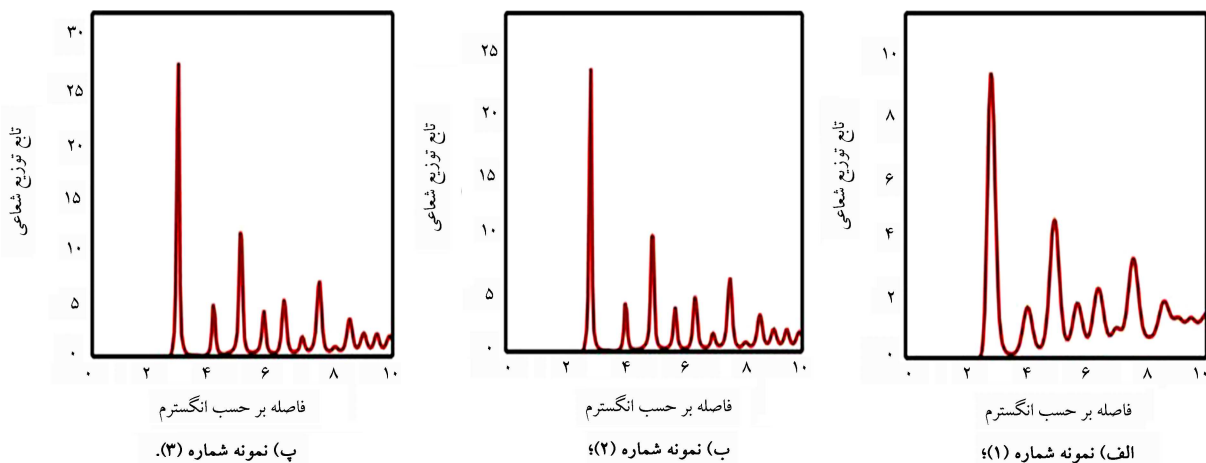
فرایند استراحت ۲۲ قرار می‌گیرد. این پروسه منجر به کاهش آثار دینامیکی در نمونه می‌شود و فرایند بارگذاری را نزدیک به حالت شبکه‌استاتیکی پیش می‌برد.^[۱۶] این تذکر لازم است که در مطالعه‌ی حاضر، تمامی تحلیل‌های دینامیک مولکولی با گام زمانی ۱ فرمتوانیه (fs)^[۲۳] با استفاده از نرم‌افزار متن باز لپس^[۲۴]^[۲۷] صورت گرفته و بررسی نتایج نیز با استفاده از نرم‌افزار متن باز اویتو^[۲۵]^[۲۸] انجام پذیرفته است.

همانگونه که مشاهده می‌شود، روش اخیر، توانایی ایجاد فوم‌ها با درصد های

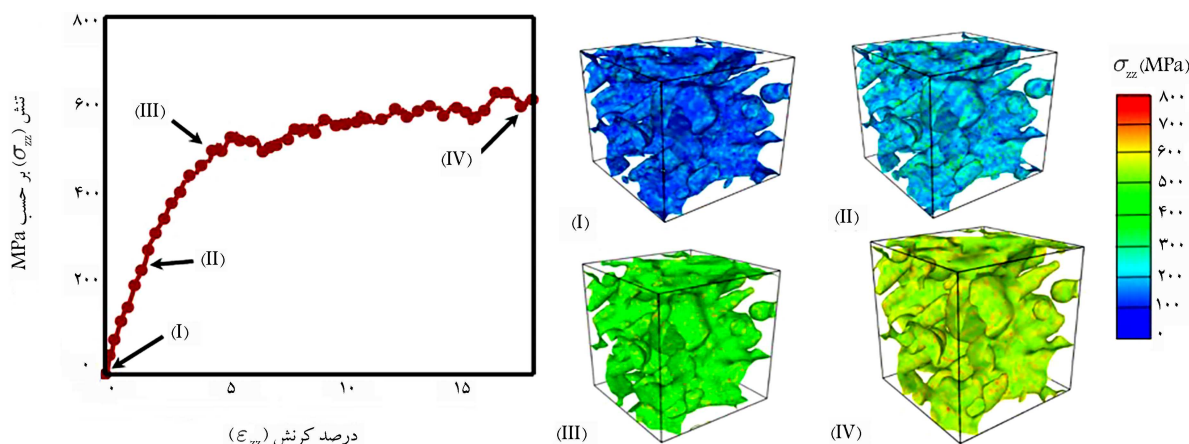
چگالی‌های مختلف را به راحتی دارد. در نمونه‌های ساخته شده، پاامتر اندازه‌ی متوسط قطر حفره‌ها در تمامی نمونه‌ها برابر با ۱۰ انگستروم بوده است، که با انتخاب ساختار اولیه‌ی متخلخل نانوفوم آلمینیوم استفاده شده است. در این راستا، بر روی سه نمونه‌ی مکعبی شکل با ابعاد ۱۶ نانومتر، سه شبکه‌بندی ورونوئی متفاوت پیاده‌سازی شده است. در شکل ۲، شبکه‌بندی های ورونوئی با استفاده از رنگ‌بندی نواحی مختلف مشاهده می‌شود. در نمونه‌های اخیر، به ترتیب از ۱۵، ۱۰ و ۷ نقطه‌ی تصادفی برای تولید شبکه‌بندی ورونوئی استفاده شده است. مطابق با شکل مذکور، با افزایش تعداد نقاط، تعداد چندوجهی‌های به دست آمده افزایش و اندازه‌ی متوسط آنها کاهش یافته است، که این موضوع در ساختار متخلخل نانوفوم نهایی می‌تواند تأثیرگذار باشد. در انتخاب نقاط تصادفی باشد دقت شود که فاصله‌ی کمینه‌یی با یکدیگر داشته باشند تا خطوط شکل‌های چندوجهی، چسبیده

۴. نتایج و بحث

همانگونه که اشاره شد، در مطالعه‌ی حاضر، روش شبکه‌بندی ورونوئی برای ایجاد ساختار اولیه‌ی متخلخل نانوفوم آلمینیوم استفاده شده است. در این راستا، بر روی سه نمونه‌ی مکعبی شکل با ابعاد ۱۶ نانومتر، سه شبکه‌بندی ورونوئی متفاوت پیاده‌سازی شده است. در شکل ۲، شبکه‌بندی های ورونوئی با استفاده از رنگ‌بندی نواحی مختلف مشاهده می‌شود. در نمونه‌های اخیر، به ترتیب از ۱۵، ۱۰ و ۷ نقطه‌ی تصادفی برای تولید شبکه‌بندی ورونوئی استفاده شده است. مطابق با شکل مذکور، با افزایش تعداد نقاط، تعداد چندوجهی‌های به دست آمده افزایش و اندازه‌ی متوسط آنها کاهش یافته است، که این موضوع در ساختار متخلخل نانوفوم نهایی می‌تواند تأثیرگذار باشد. در انتخاب نقاط تصادفی باشد دقت شود که فاصله‌ی کمینه‌یی با یکدیگر داشته باشند تا خطوط شکل‌های چندوجهی، چسبیده



شکل ۴. تغییرات تابع توزیع شعاعی برای نمونه‌های مختلف فوم آلومینیومی.



شکل ۵. نمودار تغییرات تنش-کرنش برای نمونه‌ی ۳ تحت آزمون کشش ساده به همراه کانتورهای توزیع تنش در نانوفوم آلومینیوم.

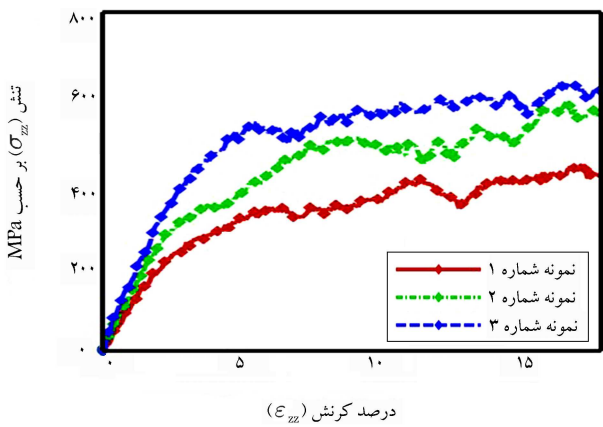
نهایی کاهش داد. همچنین براساس شکل ۳ مشاهده می‌شود که ساختار متخلخل می‌تواند پس از پایدارسازی در شرایط محیطی، فرم اسفنجی شکل خود را حفظ کند. براساس تصاویر ارائه شده، به وضوح روش ورونوئی توانایی تولید ساختارهای متخلخل نامنظم برای نانوفوم آلومینیوم را دارد. نحوه پیکربندی‌های حاصل با

شکل‌های آزمایشگاهی ارائه شده از نانوفوم آلومینیوم،^[۱۰-۸] اینطبقاً کلی مناسبی دارد و برای اساس می‌توان اعتبار روش ورونوئی را از لحاظ فرم کلی پیکربندی نمونه‌ها تأیید کرد.

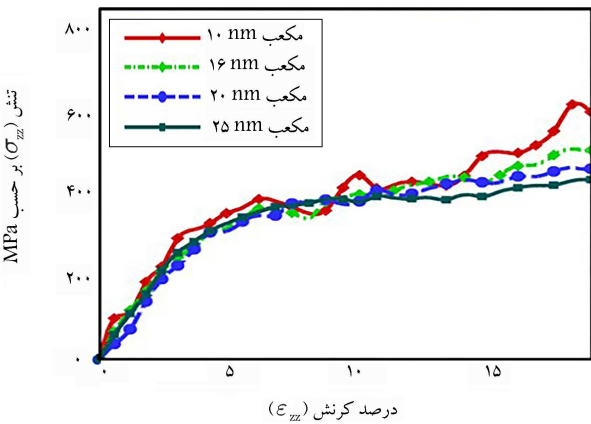
همان‌گونه که اشاره شد، نمونه‌های ایجاد شده تحت آزمون تک محوری قرار گرفته و رفتار مکانیکی آنها ارزیابی شده است. در شکل ۵، نمودار تنش-کرنش به همراه کانتورهای توزیع تنش در نمونه در راستای کشش ϵ_{zz} مشاهده می‌شود. روند کلی نمودار تنش-کرنش مطابق با نتایج آزمایشگاهی برای مواد متخلخل است؛ که شامل ۴ ناحیه است: ۱) کشسان خطی، ۲) غیرخطی همراه با افزایش تنش، ۳) تسلیم و ۴) غیرخطی.^[۲۹] براساس تصاویر ارائه شده، توزیع تنش در نمونه‌ها تقریباً یکنواخت بوده است، که بدلیل اعمال تغییرشکل با سرعت بسیار پایین و تقریباً به صورت شباهستاتیکی است.

در شکل ۶، نمودار تنش-کرنش در آزمون کشش برای نمونه‌های مختلف ترسیم و با یکدیگر مقایسه شده است. مطابق نمودارهای ارائه شده، چگالی و میران تنخلخل، تأثیر بسیاری در رفتار مکانیکی فوم آلومینیومی داشته است، که باید در بررسی رفتار مکانیکی مصالح مذکور لحاظ شود. در نتایج حاصل، مدول یانگ حدوداً برای نمونه‌های ۱ الی ۳ به ترتیب برابر با $۱۰/۵$, $۱۳/۳$, $۱۷/۷$ و $۲۰/۲۱$ ^[۸] گیگاپاسکال بوده است. در مطالعه‌ی آزمایشگاهی توسط پینا و همکاران (۲۰۲۱)،^[۲۰] مدول یانگ برای نمونه‌ی با چگالی نزدیک به نمونه‌ی ۳ برابر ۲ ± ۱۸ گیگاپاسکال گزارش شده است. براساس

به منظور بررسی بهتر ساختار اتمی نمونه‌های ساخته شده، نمودار تغییرات تابع توزیع شعاعی برای نمونه‌های مختلف در شکل ۴ مشاهده می‌شود؛ که مطابق آن، نمودارها پیک‌های تیزی دارند، که بیانگر فاز جامد در مواد نمونه‌هاست. این تذکر لازم است که ثابت شبکه‌ی آلومینیوم، $۴/۰$ انگسترم و کمترین فاصله‌ی اتم‌ها در شبکه‌ی FCC برابر $۲/۸۵$ نانومتر است. برای اساس، در نمودارهای توزیع شعاعی نیز مشاهده می‌شود که مقدار اکسترم مطلق نمودارها همگی تقریباً در فاصله‌ی $۲/۸۵$ انگسترم است، که منطبق با ساختار شبکه‌ی آلومینیوم است. این موضوع بیانگر آن است که ساختار متخلخل پس از فرایند ریلکسیشن دچار فروپاشی نمی‌شود و حالت اسفنجی شکل خود را حفظ می‌کند و می‌تواند به حالت پایدار برسد. این وضعیت نمونه‌ها منطبق با نتایج و تصاویر آزمایشگاهی ارائه شده از نانوفوم آلومینیوم،^[۱۰-۸] است. همچنین در شکل ۴ مشاهده



شکل ۶. نمودار تغییرات تنش-کرنش برای نمونه‌های مختلف مکعبی نانوفوم آلومینیومی با ابعاد ۱۶ نانومتر تحت آزمون کشش ساده.



شکل ۷. نمودار تغییرات تنش-کرنش برای نمونه‌های مکعبی نانوفوم با چگالی نسبی ۴۴٪ و ابعاد مختلف آنها تحت آزمون کشش ساده.

محاسباتی به شدت افزایش می‌یابد، براین اساس باید ابعاد المان حجمی نمونه به نحوی باشد که با کوچک‌ترین اندازه، قادر به انعکاس مناسب از مشخصات مکانیکی ماده‌ی موردنظر باشد.^[۲۱] درخصوص نانوفوم‌ها، اندازه‌ی المان حجمی نمونه باید براساس اندازه‌ی حفره‌ها، به نحوی باشد که توانایی بررسی تغییرشکل در نانوفوم‌ها با ساختار متخلخل را داشته باشد.^[۱۸]

در مطالعه‌ی حاضر، برای تعیین ابعاد مناسب برای المان حجمی نمونه، رفتار مکانیکی نمونه‌هایی با اندازه‌های مختلف ولی با میزان تخلخل تقریباً یکسان (چگالی نسبی حدود ۴۴٪) و اندازه‌ی حفره‌های یکسان (با قطر حدود ۱۰ انگستروم) تحت آزمون کشش بررسی شده است. نتایج حاصل در قالب نمودار تنش - کرنش در شکل ۷ مشاهده می‌شود؛ که مطابق آن، نودارها برای نمونه‌ی بزرگ‌تر از ۱۶ نانومتر، اختلاف تقریباً ناچیزی با یکدیگر دارند و تقریباً همگرایی رخ داده است. از این رو می‌توان دریافت که نتایج حاصل از تحلیل نمونه‌ی ۱۶ نانومتری، قابلیت تعیین بر نمونه‌های بزرگ‌تر را دارد.

از سوی دیگر، در نمونه‌هایی بررسی شده در شکل ۷، تعداد نقاط تصادفی و شبکه‌بندی نمونه‌ها متفاوت است، اما بر طبق شکل اخیر، برای نمونه‌هایی با ابعاد بیشتر از ۱۶ نانومتر، نمونه‌ها رفتار تقریباً یکسانی دارند، که بیانگر عدم واستگی نتایج به شبکه‌بندی و رونوئی است. به عبارت دیگر، دو عامل اصلی و تأثیرگذار در رفتار مکانیکی نانوفوم‌های فلزی، عبارت از میزان تخلخل (و یا چگالی نسبی نانوفوم) و اندازه‌ی حفره‌هast و تأثیر شبکه‌بندی و رونوئی کمتر از دو عامل اخیر است. این تذکر لازم است که نانوفوم آلومینیوم در تصاویر آزمایشگاهی نیز ساختارهای نامنظم و اسفنجی‌شکلی دارند، که تصادفی بودن شبکه‌بندی اعمالی می‌تواند انطباق بیشتری با این واقعیت داشته باشد.

۵. نتیجه‌گیری

در مطالعه‌ی حاضر، با توجه به کاربردهای متعدد و نوین فرم‌های آلومینیومی در صنعت ساختمان به بررسی مدل‌سازی ساختار متخلخل آنها پرداخته شده است. برای این منظور، روش شبکه‌بندی و رونوئی ارائه و پیاده‌سازی آن بر روی فلز آلومینیوم بررسی شده است. به طورکلی پیاده‌سازی روش شبکه‌بندی و رونوئی به صورت فرایندی شامل پنج مرحله است، که عبارت اند از: ۱. ایجاد ساختار پلی‌کریستالی فلز آلومینیوم در حالت بدون تخلخل؛ ۲. تعیین تعداد نقاط تصادفی در داخل نمونه؛ ۳. ایجاد شبکه‌بندی و رونوئی بر روی نمونه براساس نقاط تصادفی تعیین شده؛ ۴. تبدیل خطوط مرزی در شبکه‌بندی و رونوئی به صورت احجام سه‌بعدی و ۵. حذف بخش‌هایی از ساختار کامل اتمی که در داخل احجام به دست آمده از گام قبلی قرار می‌گیرد. مدل‌سازی‌ها، توانایی روش شبکه‌بندی و رونوئی را در کنترل عوامل تأثیرگذار در نمونه‌ی ایجادشده، از جمله: چگالی‌ها، اندازه‌ی حفره‌ها و شبکستگی‌های دیوارهای حفره‌ها را به روشنی نشان داده‌اند. با پیاده‌سازی نمونه‌های ایجاد شده براساس روش شبکه‌بندی و رونوئی در شرایط محیطی، نانوفوم‌های آلومینیومی با ساختار متخلخل و منطبق با تصاویر آزمایشگاهی شبیه‌سازی و رفتار مکانیکی نمونه‌های تولید شده، تحت آزمون کشش ساده ارزیابی شده‌اند؛ که نتایج حاصل از آن، انطباق مناسبی را با نتایج آزمایشگاهی نشان داده است، که بیانگر دقت و توانایی روش شبکه‌بندی و رونوئی است. نمودارهای تنش - کرنش بهوضح بیانگر تأثیر بسزایی چگالی در مشخصات مکانیکی نانوفوم‌های آلومینیومی هستند.

تحلیل عددی صورت‌گرفته، مدول یانگ برای نمونه‌ی ۳ در حدود ۱۷/۷ گیگاپاسکال و در محدوده‌ی به دست آمده براساس مطالعات آزمایشگاهی صورت‌گرفته بر روی نانوفوم آلومینیوم بوده است، که می‌تواند به صورت کمی درستی نمونه‌های تولید شده را اثبات کند.

براساس نتایج ارائه شده در شکل ۶، به طورکلی با افزایش تخلخل و کاهش چگالی، مدول یانگ و تنش تسلیم کاهش یافته است. این روند تغییرات مدول یانگ بر حسب تخلخل در سیاری از مطالعات صورت‌گرفته درخصوص مواد متخلخل مشاهده می‌شود.^[۲۰] براساس نمودارهای تنش - کرنش علاوه بر افزایش تخلخل، تنش حد کشسان نمونه نیز کاهش یافته است، که می‌تواند مرتبه با کاهش ضخامت دیوارهای نمونه و افزایش آثار موضعی باشد. این تذکر لازم است که در حالت کلی برای نمودار تنش-کرنش فرم‌ها، نوسان‌های زیادی مشاهده می‌شود، که ناشی از وجود دیوارهای نازک و پیچیدگی‌های هندسی در پیکربندی این دسته از مواد است.

به طورکلی در مدل‌سازی‌های عددی صورت‌گرفته، مطابق با توری همگن‌سازی شرایط مرزی نمونه‌ها در هر سه جهت به صورت پریودیک در نظر گرفته شده است. در این حالت، با افزایش ابعاد المان حجمی نمونه، بخشی از ماده که برای تخمین رفتار مکانیکی آن استفاده می‌شود، افزایش یافته است، لذا می‌تواند مشخصات مکانیکی نمونه را بهتر منعکس سازد. از سوی دیگر، با افزایش ابعاد نمونه، هزینه‌ی

پابنوهات ها

1. Aluminum foam
2. Liu
3. Larner & Dávila
4. Tanaka
5. Montanini
6. Suárez
7. Pinna
8. Yang
9. Crowson
10. Farkas
11. Ruestes
12. Mangipudi
13. Giri
14. Soyarslan
15. Yıldız
16. Embedded Atom Model
17. Pun & Mishin
18. Representative Volumetric Element
19. Ensemble
20. Li
21. Pico second($\text{V}_0 - \text{V}_s$)
22. Relaxation
23. Femto Second (0.001 ps)
24. LAMMPS
25. OVITO

منابع (References)

1. Hipke, T., Hohlfeld, J. and Rybandt, S., 2014. Functionally aluminum foam composites for building industry. *Procedia Materials Science*, 4, pp.133-138. doi.org/10.1016/j.mspro.2014.07.550.
2. Montanini, R., 2005. Measurement of strain rate sensitivity of aluminium foams for energy dissipation. *International Journal of Mechanical Sciences*, 47, pp.26-42. doi.org/10.1016/j.ijmecsci.2004.12.007.
3. Nouri Damghani, M. and Mohammadzadeh Gonabadi, A., 2019. Numerical study of energy absorption in aluminum foam sandwich panel structures using drop hammer test. *Journal of Sandwich Structures & Materials*, 21(1), pp.3-18. doi.org/10.1177/1099636216685315.
4. Liu, S., Li, A., He, S. and Xuan, P., 2015. Cyclic compression behavior and energy dissipation of aluminum foam-polyurethane interpenetrating phase composites. *Composites Part A: Applied Science and Manufacturing*, 78, pp.35-41. doi.org/10.1016/j.compositesa.2015.07.016.
5. Larner, M. and Dávila, L.P., 2013. The mechanical properties of porous aluminum using finite element method simulations and compression experiments. *MRS Online Proceedings Library*, 1580, p.905. doi.org/10.1557/opl.2013.663.
6. Tanaka, S., Hokamoto, K., Irie, S., Okano, T., Ren, Z., Vesenjak, M. and Itoh, S., 2011. High-velocity impact experiment of aluminum foam sample using powder gun. *Measurement*, 44, pp.2185-2189. doi.org/10.1016/j.measurement.2011.07.018.
7. Suárez, O.M., Estremera, E.G., Soler, R., Declet, A. and Hernández -Maldonado, A.J., 2014. Fabrication of porous and nanoporous aluminum via selective dissolution of Al-Zn alloys. *Advances in Materials Science and Engineering*, 2014, pp.963042. doi.org/10.1155/2014/963042.
8. Pinna, A., Pia, G., Casula, M. F., Delogu, F., Sogne, E., Falqui, A. and Pilia, L., 2021. Fabrication of nanoporous Al by vapor-phase dealloying: Morphology features, mechanical properties and model predictions. *Applied Sciences*, 11(14), p.6639. doi.org/10.3390/app11146639.
9. Yang, W., Luo, Z.P., Bao, W.K., Xie, H., You, Z.S. and Jin, H.J. 2021 Light, strong, and stable nanoporous aluminum with native oxide shell. *Science Advances*, 7, p.28. DOI:10.1126/sciadv.abb9471.
10. Crowson, D.A., Farkas, D. and Corcoran, S.G., 2007. Geometric relaxation of nanoporous metals: The role of surface relaxation. *Scripta Materialia*, 56, pp.919-922. doi.org/10.1016/j.scriptamat.2007.02.017.
11. Farkas, D., Caro, A., Bringa, E. and Crowson, D. 2013. Mechanical response of nanoporous gold. *Acta Materialia*, 61(9), pp.3249-3256. doi.org/10.1016/j.actamat.2013.02.013.
12. Ruestes, C.J., Farkas, D., Caro, A. and Bringa, E.M., 2016. Hardening under compression in Au foams. *Acta Materialia*, 108, pp.1-7. doi.org/10.1016/j.actamat.2016.02.030.
13. Mangipudi, K.R., Epler, E. and Volkert, C.A., 2016. Topology-dependent scaling laws for the stiffness and strength of nanoporous gold. *Acta Materialia*, 119, pp.115-122. doi.org/10.1016/j.actamat.2016.08.012 .
14. Giri, A., Tao, J., Wang, L., Kirca, M. and To Albert, C., 2014. Compressive behavior and deformation mechanism of nanoporous open-cell foam with ultrathin ligaments. *Journal of Nanomechanics and Micromechanics*, 4(2), p.A4013012. doi.org/10.1061/(ASCE)NM.2153-5477.0000079.
15. Soyarslan, C., Bargmann, S., Pradas, M. and Weissmüller, J., 2018. 3D stochastic bicontinuous microstructures: Generation, topology and elasticity. *Acta Materialia*, 149, pp.326-340. doi.org/10.1016/j.actamat.2018.01.005.
16. Yıldız, Y.O., Ahadi, A. and Kirca, M. 2020. Strain rate effects on tensile and compression behavior of nano-crystalline nanoporous gold: A molecular dynamic study. *Mechanics of Materials*, 143, pp.103338. doi.org/10.1016/j.mechmat.2020.103338.
17. Yıldız, O. and Kirca, M., 2017. A novel atomistic modeling technique for poly-crystalline nanoporous metals. In: *Proceedings of the 32nd Technical Conference of the American Society for Composites*. DOI: 10.12783/asc2017/15307.
18. Nikravesh, Y., Sameti, A.R. and Khoei, A.R., 2022. An atomistic-continuum multiscale analysis for heterogeneous nanomaterials and its application in nanoporous gold foams. *Applied Mathematical Modelling*, 107, pp.353-378. doi.org/10.1016/j.apm.2022.02.029.
19. Henz, B.J., Hawa, T. and Zachariah, M., 2009. Molecular dynamics simulation of the kinetic sintering of Ni and Al nanoparticles. *Molecular Simulation*, 35, pp.804-811. doi.org/10.1080/08927020902818021.

20. Olmsted, D.L., Hector, L.G., Curtin, W.A. and Clifton, R.J., 2005. Atomistic simulations of dislocation mobility in Al, Ni and Al/Mg alloys. *Modelling and Simulation in Materials Science and Engineering*, 13(3), pp.371-388. DOI: 10.1088/0965-0393/13/3/007.
21. Khoei, A.R., Khajehpour, B. and Rezaei Sameti, A., 2022. Surface oxidization effect on the mechanical behavior of aluminum nanopowders under triaxial compression test. *Applied Surface Science*, 606, p.154907. doi.org/10.1016/j.apsusc.2022.154907.
22. Khoei, A.R., Sameti, A.R. and Mofatteh, H., 2020. Compaction simulation of crystalline nano-powders under cold compaction process with molecular dynamics analysis. *Powder Technology*, 373, pp.741-753. doi.org/10.1016/j.powtec.2020.06.069.
23. Narayan, K., Behdinan, K. and Fawaz, Z., 2007. An engineering-oriented embedded-atom-method potential fitting procedure for pure fcc and bcc metals. *Journal of Materials Processing Technology*, 182, pp.387-397. doi.org/10.1016/j.jmatprotec.2006.08.018.
24. Purja Pun, G.P. and Mishin, Y., 2009. Development of an interatomic potential for the Ni-Al system. *Philosophical Magazine*, 89, pp.3245-3267. doi.org/10.1080/14786430903258184.
25. Li, J., Xian, Y., Zhou, H., Wu, R., Hu, G. and Xia, R., 2018. Microstructure-sensitive mechanical properties of nanoporous gold: A molecular dynamics study. *Modelling and Simulation in Materials Science and Engineering*, 26, p.075003. DOI: 10.1088/1361-651X/aadb5d.
26. Li, J., Li, J., Chen, Y. and Chen, J., 2022. Strengthening modulus and softening strength of nanoporous gold in multiaxial tension: Insights from molecular dynamics. *Nanomaterials*, 12, p.4381. doi.org/10.3390/nano12244381.
27. Plimpton, S., 1995. Fast parallel algorithms for short-range molecular dynamics. *Journal of Computational Physics*, 117, pp.1-19. doi.org/10.1006/jcph.1995.1039.
28. Stukowski, A., 2014. A triangulation-based method to identify dislocations in atomistic models. *Journal of the Mechanics and Physics of Solids*, 70, pp.314-319. doi.org/10.1016/j.jmps.2014.06.009.
29. Kalpakoglou, T. and Yiatros, S., 2022. Metal foams: A review for mechanical properties under tensile and shear stress. *Frontiers in Materials*, 9, p.998673. doi.org/10.3389/fmats.2022.998673.
30. Lurie, S.A., Solyaev, Y.O., Rabinskiy, L.N., Polyakov, P.O. and Sevostianov, I., 2018. Mechanical behavior of porous Si₃N₄ ceramics manufactured with 3D printing technology. *Journal of Materials Science*, 53, pp.4796-4805. doi.org/10.1007/s10853-017-1881-0.
31. Khoei, A.R., Sameti, A.R. and Kazerooni, Y.N., 2018. A continuum-atomistic multi-scale technique for nonlinear behavior of nano-materials. *International Journal of Mechanical Sciences*, 148, pp.191-208. doi.org/10.1016/j.ijmecsci.2018.08.012.